

4. Л а з у т к и н Г.В., Т р у б и н В.Н. Экспериментальные статические и динамические характеристики амортизаторов типа ДК //Вибрационная прочность и надежность двигателей и систем летательных аппаратов: Сб.науч.тр. - Куйбышев: КуАИ, 1976. - Вып. 3. - С. 32-37.

5. Т р о й н и к о в А.А., Т р у б и н В.Н., Л а з у т к и н Г.В. К вопросу об упругодемпфирующих свойствах материала МР//Там же, 1975. - Вып. 2. - С. 60-65.

УДК 539:374:534.24

Г.В.М е л ь н и к о в а

### ИЗГИБНЫЕ КОЛЕБАНИЯ ТУРБИННЫХ ЛОПАТОК С ДЕМПФЕРОМ СУХОГО ТРЕНИЯ

Для исследования нестационарных динамических процессов, возникающих при изгибных колебаниях лопаток турбомашин, может быть успешно применен метод прямого математического моделирования на ЭВМ процесса распространения механических возмущений /1-3/.

Применение указанного метода к изгибным колебаниям осложняется наличием двух типов волн (от продольного растяжения-сжатия и сдвига), распространяющихся с различными скоростями.

В настоящей работе в соответствии с основными принципами метода прямого математического моделирования выбрана модель структурного элемента изгиба. Эта модель на каждом временном интервале точно удовлетворяет законам сохранения импульса, момента импульса и механической энергии, что обеспечивает хорошую устойчивость вычислительного процесса при большом числе временных этапов.

С использованием указанной модели структурного элемента изгиба проведено исследование нелинейных нестационарных вынужденных колебаний лопаток турбин, имеющих демпфирующие элементы сухого трения под нижней полкой лопатки. Численный анализ проводился как при постоянной, так и при меняющейся частоте возбуждения.

#### 1. Основные уравнения

Приведем основные уравнения для плоского изгиба лопатки турбины, рассматриваемой как балка постоянного сечения.

Условия равновесия и совместности деформаций в течение промежутка времени  $\Delta t$  границ  $j$ -го и примыкающих к нему  $(j \pm 1)$ -х элементов имеют вид:

$$M_{j*}^{\pm} = M_{j\pm 1,*}^{\mp}; \quad \omega_{j*}^{\pm} = \omega_{j\pm 1,*}^{\mp}; \quad (I)$$

$$Q_{j*}^{\pm} = Q_{j\pm 1,*}^{\mp}; \quad V_{j*}^{\pm} = V_{j\pm 1,*}^{\mp},$$

где  $Q_{j*}^{\pm}, M_{j*}^{\pm}$  - силы и моменты взаимодействия  $j$ -го элемента с соседними комплексными элементами ("+" - на правой границе, "-" - на левой границе элемента);

$\omega_{j*}^{\pm}, V_{j*}^{\pm}$  - угловая и поперечная скорости внешних границ комплексного элемента.

Для получения правильного соотношения между углом сдвига и поперечной силой вводится дополнительная податливость в граничных связях  $K_{jn}$ .

В момент времени  $t$  для стыков  $j$ -го и  $(j \pm 1)$ -х элементов известны  $M_{j0}, Q_{j0}, \omega_{j0}, V_{j0}, M_{j\pm 1,0}, Q_{j\pm 1,0}, \omega_{j\pm 1,0}, V_{j\pm 1,0}$ , а также значения  $Q_{j0}^{\pm}, Q_{j\pm 1,0}^{\mp}$  (индекс "0" указывает на то, что значение параметров рассматривается в начале данного временного этапа;  $Q_{jn}^{\pm}$  - усилия в дополнительных упругих граничных связях). Для промежутка времени  $\Delta t$  должны быть заданы внешние нагрузки, приложенные к границе соседних элементов. Для сил линейного вязкого сопротивления внешние нагрузки имеют вид

$$q_{j\pm}^{\pm} = q_j^{\pm} - \rho C_M F \zeta_{jq}^{\pm} V_{j*}^{\pm};$$

$$m_{j\pm}^{\pm} = m_j^{\pm} - \rho C_M J_j \zeta_{jm}^{\pm} \omega_{j*}^{\pm},$$

где  $q_j^{\pm}, m_j^{\pm}$  - внешние силы и моменты, действующие на участках стержня длиной  $0,5 \Delta x_j$ , прилегающих к соответствующим границам элемента;

$J_j$  - момент инерции поперечного сечения;

$\zeta_{jq}^{\pm}, \zeta_{jm}^{\pm}$  - безразмерные коэффициенты вязкого сопротивления, постоянные в течение времени  $\Delta t$ ; в дальнейшем примем, что

$$\zeta_{jq}^{\pm} = \zeta_{jq} = const, \quad \zeta_{jm}^{\pm} = \zeta_{jm} = const;$$

$C_M$  - скорость распространения волн изгиба;

$\rho$  - плотность материала;

$F$  - площадь поперечного сечения балки.

Необходимо найти параметры по стыкам элементов, удовлетворяющие условиям (I), по ним - параметры на границах внутренних элементов, а затем новые значения  $V_j, M_j, Q_j, \omega_j, M_{j\pm 1}, Q_{j\pm 1}, \omega_{j\pm 1}, V_{j\pm 1}$ , а также  $Q_{jn}^{\pm}, Q_{j\pm 1, n}^{\pm}$ .

Для упрощения формул перейдем к безразмерным параметрам, считая некоторую нагрузку  $q^0$  заданной.

Допустим, что

$$\bar{Q} = Q/q^0, \bar{M} = M/q^0 z, \bar{q} = q/q^0, \bar{m} = m/q^0 z, \bar{x} = x/z,$$

$$\bar{V} = \rho C_M F V/q^0, \bar{\omega} = \rho C_M J \omega/q^0 z, \bar{t} = t C_M/z,$$

где  $z = \sqrt{\frac{J}{F}}$  - радиус инерции поперечного сечения балки.

Обозначим  $\alpha = 0,5 \Delta \bar{x} = 0,5 \Delta x/z$ ,  $\beta = 1 + E_j F_j K_{jn}$ .

Тогда основные уравнения в безразмерных параметрах примут следующий вид\*:

$$M_j^{\pm} = M_{j0} \pm (\omega_j^{\pm} - \omega_{j0});$$

$$Q_j^{\pm} = Q_{j0} \pm (V_j^{\pm} - V_{j0});$$

$$Q_{j*}^{\pm} = Q_j^{\pm} \mp q_j^{\pm} \pm 2q V_{j*}^{\pm};$$

$$M_{j*}^{\pm} = M_j^{\pm} \mp \alpha Q_j^{\pm} \mp m_j^{\pm} \pm 2m \omega_{j*}^{\pm};$$

$$\omega_{j*}^{\pm} = \omega_j^{\pm};$$

$$V_{j*}^{\pm} = \beta V_j^{\pm} - (\beta - 1) [V_{j0} \pm (Q_{j0} - Q_{jn0})] \pm \alpha \omega_j^{\pm}.$$

(2)

Метод математического моделирования позволяет проводить расчет каждого стыка независимо от других. Считая известными для  $j$ -го стыка ( $j-1$ )-го и  $j$ -го элементов значения на левом конце  $M_{j*}, Q_{j*}$  и пр., достаточно найти для ( $j+1$ )-го стыка  $j$ -го и ( $j+1$ )-го

\* В дальнейшем черточки над безразмерными параметрами опускаются.

элементов значения на правом конце  $M_{j*}^+, Q_{j*}^+$  и пр., которые одновременно являются значениями на левом конце следующего  $(j+1)$ -го элемента.

## 2. Граничные и начальные условия

В начальный момент времени  $t = 0$  должны быть заданы для всех элементов исходные значения параметров  $M_j, Q_j, \omega_j, V_j, Q_{jn}^+$ , удовлетворяющие граничным условиям задачи; в ненагруженном стационарном состоянии начальные значения всех параметров равны нулю.

Приведем формулы для основных граничных условий применительно к правому концу  $j$ -го элемента.

В случае неподвижной заделки  $V_{j*}^+ = 0, \omega_{j*}^+ = 0,$

$$\omega_j^+ = 0, V_j^+ = (\beta - 1)(V_{j0} - Q_{j0} + Q_{jn0}^+)/\beta,$$

$$Q_{j*}^+ = Q_j^+ - q_j^+, M_{j*}^+ = M^+ - m_j^+ - \alpha Q_j^+.$$

В случае свободного края  $Q_{j*}^+ = 0, M_{j*}^+ = 0.$  Из формул (2) следует

$$Q_j^+ = \frac{(1 + 2m) \{ q_j^+ - 2q [V_{j0} - (\beta - 1)Q_{jn0}^+] \} - 2q\alpha(\omega_{j0} - M_{j0} + m_j^+)}{(1 + \beta 2q)(1 + 2m) + 2q\alpha^2},$$

что позволяет найти

$$\omega_j^+ = (\omega_{j0} - M_{j0} + m_j^+ + \alpha Q_j^+)/ (1 + 2m)$$

и все остальные параметры.

## 3. Примеры расчета

Расчетная схема консольного стержня, имитирующего вынужденные нелинейные колебания турбинной лопатки с демпфирующей вставкой, представлена на рис. 1. На расстоянии  $l_0$  от заделки расположен демпфер сухого трения. К стержню приложена возбуждающая сила  $P_0(t)$  с плавно меняющейся по времени частотой возбуждения. Изменение частот возбуждения имитирует прохождение через резонансный режим при изменении частоты вращения. По длине стержня действуют распределенные силы внешнего вязкого сопротивления  $q_a$ , имитирующие силы аэродинамического демпфирования. Показана принятая в расчете характе-

ристика демпфера сухого трения с различной величиной сил трения покоя  $P_{тр.п}$  и движения  $P_{тр.д}$ .

Для простоты анализа площадь сечения, плотность, модуль упругости материала приняты постоянными. Коэффициенты вязкости  $\gamma_m = \gamma_d$  также приняты постоянными во всех узлах, кроме сечения, где расположен демпфер.

Процедура, реализующая условия взаимодействия стержня с демпфером сухого трения, предусматривает все возможные варианты работы демпфера на данном временном этапе. При скорости в узле, где расположен демпфер, равной нулю ( $V_{д}^+ = V_{д}^- = 0$ ), начинается движение, если абсолютное значение полной силы реакции демпфера  $R = R_j$  больше или равно силе сухого трения покоя, т.е.  $|R| \geq P_{тр.п}$  и движение началось, т.е.  $V_{д} \neq 0$ ,

$$R = -(P_{тр.д} \operatorname{sign} V_{д} + K_{д} V_{д}),$$

где  $P_{тр.д}$  - сила сухого трения движения ( $P_{тр.д} \geq P_{тр.п}$ );

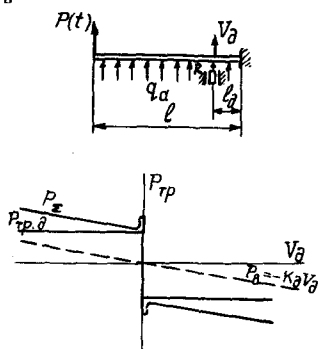
$K_{д}$  - размерный коэффициент демпфирования, которому соответствует безразмерная величина  $\gamma_{д} = K_{д} / \rho c F^0$ .

Если в процессе движения  $|R| < P_{тр.д}$ , то движение прекращается ( $V_{д} = 0$ ).

На рис. 2 приведены расчетные осциллограммы изменения моментов в заделке  $M_{NХ}$  и в сечении над демпфером  $M_{д}$ , силы реакции  $R$  и скорости проскальзывания в демпфере  $V_{д}$  при  $P_{тр.п} = P_{тр.д} = 2$  и  $\ell_{д} / \ell = 0,9$  (принято  $q^0 = q_0$ , где  $q_0$  - амплитуда возбуждающей силы).

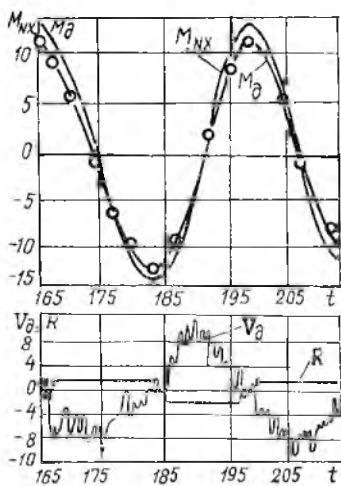
На осциллограммах отчетливо видны участки, где демпфер вступает в работу, остается неподвижным или начинает движение в обратном направлении. По изгибным осциллограммам строились огибающие процесса распространения волны возмущений.

Огибающая процесса, представляющая собой амплитудно-частотную

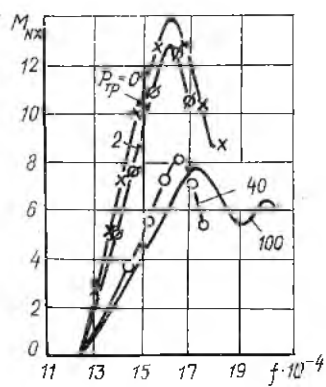


Р и с. 1. Расчетная схема стержня с демпфером сухого трения и характеристика демпфера

больше или равно силе  $P_{тр.п}$ . В случае, когда  $|R| > P_{тр.п}$



Р и с. 2. Расчетная осциллограмма прохождения турбинной лопатки с демпфером через резонанс

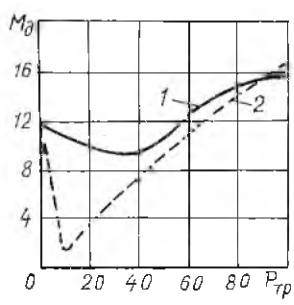


Р и с. 3. Амплитудно-частотная характеристика выбранной модели при различных значениях силы трения  $P_{TP}$

характеристику для выбранной модели при постоянной скорости изменения частоты возбуждения  $f = f_2/c$  и различных значениях силы трения  $P_{TP, \eta} = P_{TP} \cdot \bar{\sigma}$  показана на рис. 3. При увеличении силы трения от  $P_{TP} = 0$  до  $P_{TP} = 40$  максимальное значение изгибающего момента в заделке  $M_{N\lambda}$  падает довольно резко. При дальнейшем увеличении силы трения  $P_{TP}$  максимальное значение момента практически остается на одном уровне.

На рис. 4 показано влияние расположения демпфера на величину максимальных моментов в месте расположения демпфера. Это позволяет оценить массу демпфера и его оптимальное расположение.

Для постоянного значения  $\bar{c}_2$  построены кривые изменения максимальных



Р и с. 4. Влияние расположения демпфера на величину максимальных моментов в месте расположения демпфера: 1 -  $\bar{c}/\bar{c}_2 = 0,9$ ; 2 -  $\bar{c}/\bar{c}_2 = 0,7$

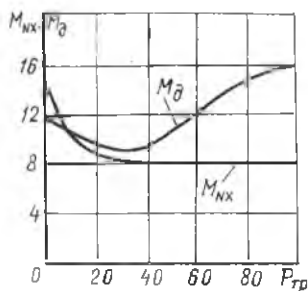
моментов в заделке  $M_{N\lambda}$  и в месте расположения демпфера  $M_D$  в зависимости от силы трения в нем (рис. 5). При малых значениях  $P_{TP}$  более напряженной остается заделка ( $M_{N\lambda} > M_D$ ), затем момент в заделке  $M_{N\lambda}$  монотонно убывает, а  $M_D$  проходит через минимум и начинает возрастать, так что определяющим становится сечение над демпфером. Наибольшая эффективность демпфера сухого трения достигается при сравнительно небольших силах трения.

Таким образом, применение метода математического моделирования позволяет детально исследовать нестационарные процессы при наличии демпферов сухого трения и, в частности, дает возможность оценивать эффективность применения конструктивных демпферных вставок сухого трения для демпфирования резонансных колебаний лопаток турбомашин.

Анализ выбранной модели показал, что оптимальное демпфирование обеспечивается при относительно небольших силах трения, соизмеримых с действующей переменной нагрузкой с учетом ее динамического усиления.

### Библиографический список

1. Ш о р р Б.Ф. Прямое математическое моделирование процесса распространения механических возмущений в твердых деформируемых телах //Проектирование и доводка авиационных ГТД. - Куйбышев: КуАИ, 1976. - С.70-75.
2. М е л ь н и к о в а Г.В., Ш о р р Б.Ф. Изгибные колебания блонк с демпфером сухого трения //XIII конф. по вопросам рассеяния энергии при колебаниях механических систем: Тез. докл. - Киев: Наукова думка, 1983. - С. 36.
3. Ш о р р Б.Ф., М е л ь н и к о в а Г.В. Вынужденные колебания механической системы с демпфирующими элементами сухого и вязкого трения при переходе через резонансы //Рассеяние энергии при колебаниях механических систем. - Киев: Наукова думка, 1982.-С.11-17.



Р и с. 5. Изменение максимальных моментов в заделке  $M_{N\lambda}$  и в месте расположения демпфера  $M_D$  в зависимости от силы трения  $P_{TP}$